

پیش‌بینی خواص ویسکوالاستیک کامپوزیت اپوکسی تقویت شده با الیاف تک جهتی شیشه

Prediction of Viscoelastic Properties of Reinforced Epoxy/Unidirectional Glass Fiber Composite

علی حق طلب، سید حسین میرزا سیدی

دانشگاه تربیت مدرس، دانشکده فنی و مهندسی، بخش مهندسی شیمی (گروه پلیمر)

دربافت: ۷۶/۴/۱، پذیرش: ۷۷/۳/۱۹

چکیده

خواص ویسکوالاستیک غیرخطی کامپوزیت اپوکسی تقویت شده با الیاف موازی شیشه (R-glass) بررسی شد. با استفاده از آزمایش‌های کوتاه مدت خرش و بکارگیری اصل بر همنهش دما-زمان و تنش و استفاده از مدل ویسکوالاستیک غیرخطی، عناصر ماتریس نرمی کامپوزیت ارتقای روش در زمان طولانی پیش‌بینی شد. آزمایش‌های کش روی قطعات نواری شکل با زاویه الیاف صفر درجه و مجهز به کرنش سنجهای مقاومت الترکیکی و آزمایش‌های کوتاه مدت خرش روی قطعات نواری شکل با زاویه الیاف ۲۰ و ۴۰ درجه تنشهای ثابت و دماهای مختلف انجام شد. منحنیهای مادر برای کامپلائنس خرش در جهات ۳۰ و ۹۰ به روش نموداری و با استفاده از اصل بر همنهش دما و زمان بدست آمد. همچنین، مقدار ضریبهای انتقال افقی محاسبه و منحنیهای مریوط به آن مدل شد. با انجام آزمایش‌های جداگانه خرش در دماهای ثابت و تخت تنشهای مختلف، اثر مقدار تنش بر رفتار ویسکوالاستیک کامپوزیت بررسی شد. نشان داده شد که رفتار کامپوزیت در جهت الیاف الاستیک و در جهات عرضی و برش ویسکوالاستیک است. در پایان، با استفاده از مدل ویسکوالاستیک غیرخطی رفتار خرشی کامپوزیت در جهات مختلف و در زمانهای طولانی پیش‌بینی شد.

واژه‌های کلیدی: کامپوزیت، خرش، ویسکوالاستیکیت، بر همنهش دما و زمان، اپوکسی اشیشه

Key Words: composite, creep, viscoelasticity, time-temperature superposition, epoxy / glass

وزن، پایداری خوب در شرایط سخت، ظرفیت گرمایی زیاد، نارسانی و کثربکی و گرمایی خوب، قابلیت طراحی بسیار خوب، آسانی ساخت و هزینه کم اشاره کرد. کامپوزیتهای پلیمری تقویت شده با الیاف بلند و تک‌جهتی شامل گروهی از کامپوزیتهای است که استفاده از آنها بسیار متداول و در حال افزایش است. در طراحی این کامپوزیتها معمولاً با توجه به رفتار این مواد، آنها را به عنوان مواد الاستیک در نظر می‌گیرند. اگرچه این فرض در بسیاری از موارد کاربردی مناسب و کافی است، ولی

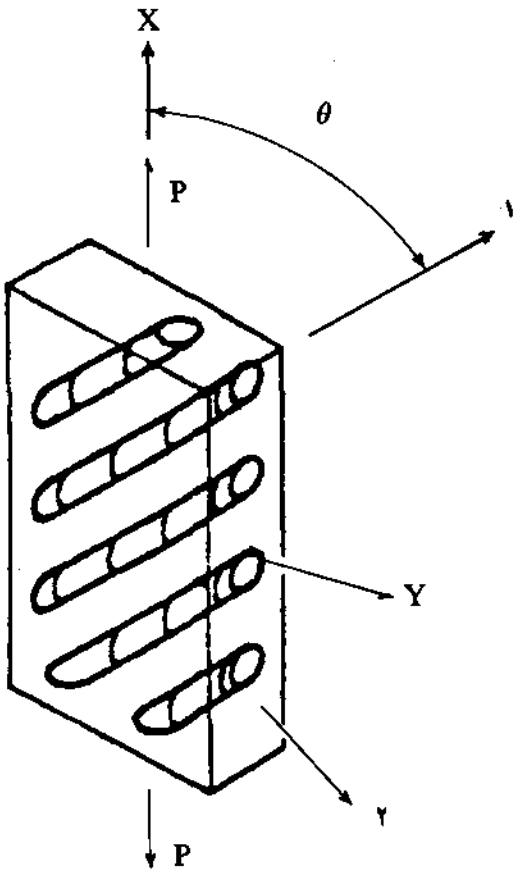
مقدمه کامپوزیتهای پلیمری از مواد مهم مهندسی اند که کاربرد وسیعی در دنیا امروز دارند. صنایع مختلف نظیر صنایع دریابی، هوانی و فضایی، اتومبیل‌سازی، ذخیره‌سازی، لوازم خانگی و ورزشی شدیداً به این نوع کامپوزیتها وابسته‌اند، بطوری که طراحی، ساخت و کاربرد این مواد بسیار متداول شده است. از جمله دلایلی که موجب رشد فراینده این مواد شده است می‌توان به چگالی کم، نسبت زیاد استحکام به وزن و مدول به

$$\begin{bmatrix} \epsilon_1 \\ \epsilon_2 \\ \epsilon_{12} \end{bmatrix} = \begin{bmatrix} S_{11} & S_{12} & 0 \\ S_{12} & S_{22}(t, T, \sigma) & 0 \\ 0 & 0 & S_{66}(t, T, \sigma) \end{bmatrix} \begin{bmatrix} \sigma_1 \\ \sigma_2 \\ \epsilon_{12} \end{bmatrix} \quad (1)$$

تش و کرنش در جهت عمود بر الیاف و ϵ_{12} و ϵ_{12} و کرنش در جهت برش آند S_{11} و S_{12} به ترتیب کامپلیانس در جهت الیاف (جهت طولی) و کامپلیانس جفت کننده جهات عرضی و طولی بوده و در اثر رفتار الاستیک الیاف شیشه مقادیر ثابتی خواهد داشت. S_{22} و S_{66} به ترتیب کامپلیانس عرضی و کامپلیانس برشی آند و تحت تأثیر رفتار ویسکوالاستیک اپوکسی، مقادیری وابسته به زمان (t)، دما (T) و تنش (σ) وغیره دارند. عموماً رفتار ویسکوالاستیک یک ماده پلیمری ممکن است به صورتهای مختلفی نمایان شود، مثلاً پدیده خروش یک رفتار ویسکوالاستیک است و کامپلیانس آن به صورت زیر تعریف می‌شود [۱، ۲]:

$$S(t) = \frac{\epsilon(t)}{\sigma_0} \quad (2)$$

که ϵ تنش ثابت اعمال شده روی پلیمر و (ϵ) کرنش آن است.



شکل ۱ - آزمایش کشش روی قطعات با زاویه الیاف $90^\circ < \theta < 0^\circ$.

در بعضی مواقع برای ساخت و طراحی قطعات کافی نیست. در کامپوزیت اپوکسی تقویت شده با الیاف موازی شیشه، گرچه الیاف شیشه رفتاری الاستیک نشان می‌دهند، اما جزء پلیمری آن یعنی اپوکسی ماده‌ای ویسکوالاستیک است [۳-۱] و کامپوزیت تحت تأثیر رفتار این جزء در جهات عرضی و برش رفتاری کاملاً ویسکوالاستیک خواهد داشت. در جهت طولی الیاف، به دلیل اینکه قسمت عمده بار روی الیاف اعمال می‌شود، کامپوزیت در این جهت رفتاری الاستیک دارد.

تاکنون فعالیتهای گسترده‌ای در زمینه اندازه‌گیری خواص ویسکوالاستیک کامپوزیتها پلیمری انجام شده است. قسمت اعظم این فعالیتها مربوط به اندازه‌گیری خروش کامپوزیتها پلیمری تقویت شده با الیاف موازی و پیوسته بوده است. شایری و لو نشان داده‌اند [۴] که کامپوزیت اپوکسی و شیشه در جهت الیاف کاملاً الاستیک است و در جهات عرضی و برش رفتاری ویسکوالاستیک دارند. همچنین، نتایج تحقیقات برینسون [۵] و دیگران روی کامپوزیت گرافیت و اپوکسی نشان می‌دهد که این کامپوزیت رفتاری مشابه با کامپوزیت شیشه و اپوکسی دارد [۶-۱۰]. تحقیقات همین گروه روی کامپوزیت کولار و اپوکسی نیز حاکی از آن است که این نوع کامپوزیت در تمام جهات رفتاری ویسکوالاستیک دارد [۱۱]. در این مطالعات معلوم شده است که اگرچه فرایند خروش سازه‌های کامپوزیتی مزبور در دمای محیط بسیار آرام اتفاق می‌افتد، اما با بالا رفتن دما و تنش سرعت خروش شتاب پیدا می‌کند. در این مطالعه، با استفاده از روش برینسون و همکاران آزمایش‌های کوتاه مدت خروش در شرایط تشدید یافته روی یک لایه کامپوزیت ارتوتروپ اپوکسی (آلرالدیت LY ۵۵۹) و شیشه (R-glass) انجام شده و با بکارگیری اصل برهمهش زمان - دما رفتار خروش این نوع کامپوزیت در زمانهای طولانی پیش‌بینی شده است.

اساس نظری

در یک لایه ارتوتروپ کامپوزیت تقویت شده با الیاف مانند کامپوزیت اپوکسی با شیشه، که پیوسته و الاستیک است و تحت یک سیستم تنش صفحه‌ای قرار دارد، معادله تنش - کرنش به صورت معادله ۱ خلاصه می‌شود [۱۱-۱۴].

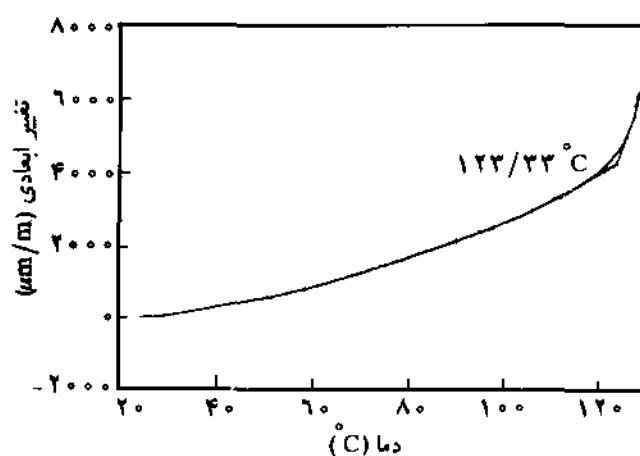
در این معادله، که ماتریس تنش دو بعدی خوانده می‌شود، مقادیر S_{11} و S_{12} صفر بوده و در نتیجه مقادیر S_{22} و S_{66} و S_{55} قابل چشم‌پوشی است. σ_1 و σ_2 به ترتیب تنش و کرنش در جهت الیاف، σ_4 و

در این معادله m و S_0 پارامترهای مدلند و با استفاده از داده‌های آزمایش خروش حساب می‌شوند. در مطوح بسیار زیاد تنشها، رفتار کامپوزیت ویسکوالاستیک غیرخطی بوده و کامپلیانس خروش نیز تابعی از مقدار تنش است. در این حالت، معادله عمومی ارائه شده توسط برنسون [۱۱] با تقریب خوبی می‌تواند بیان کننده تغییرات کامپلیانس خروش (S) بر حسب زمان و تنش باشد:

$$S = S_0 f(\sigma) + mg(\sigma)t^n \quad (۳)$$

پارامترهای m و S_0 مستقل از مقدار تنش‌اند و مقادیر آنها با انجام آزمایش‌های خروش در تنشها پاییتر و با استفاده از تجزیه و تحلیل ویسکوالاستیک خطی حساب می‌شود. برای بدست آوردن توابع تنش (σ) و $(\sigma)^n$ از نتایج آزمایش‌های کوتاه‌مدت خروش در تنشها بسیار زیاد استفاده شده است.

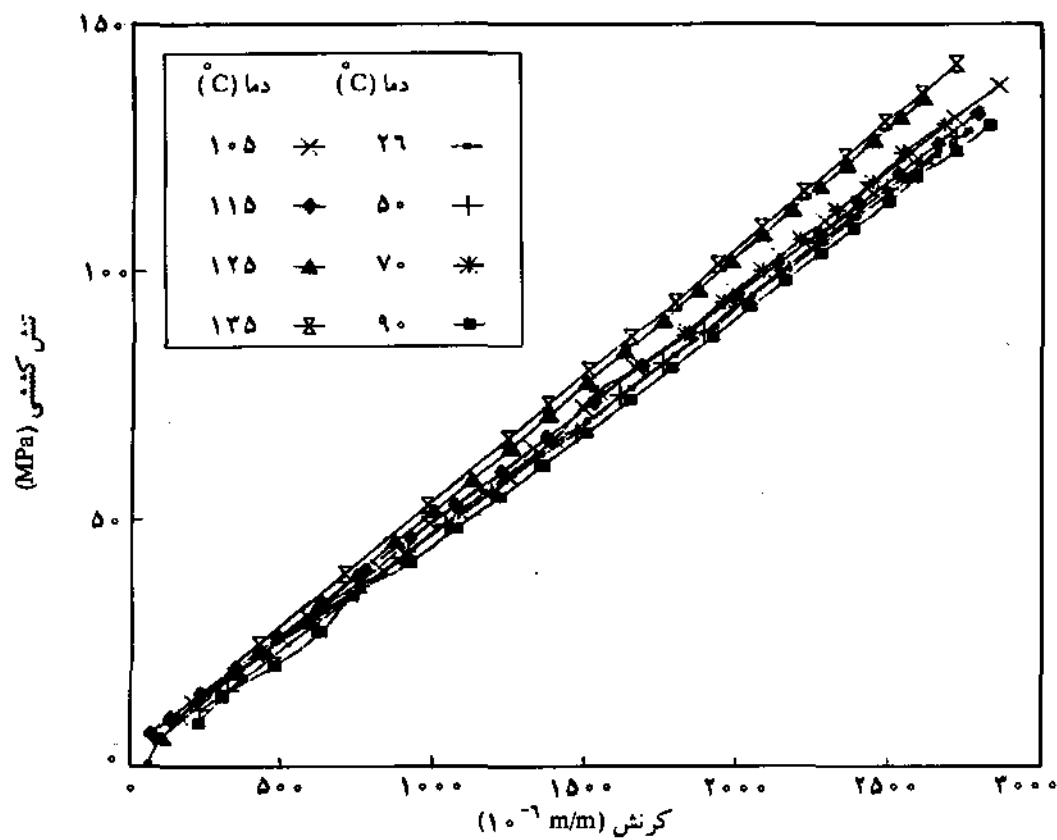
برای محاسبه مقادیر S_{11} و S_{22} از آزمایش‌های استاندارد کشش قطعات نواری شکل با زاویه الیاف 0° و 90° استفاده شده است. برای محاسبه S_{12} و S_{21} قطعات صفر درجه تحت آزمایش کشش فرارگرفته و با اندازه‌گیری کرنش قطعات در دو جهت



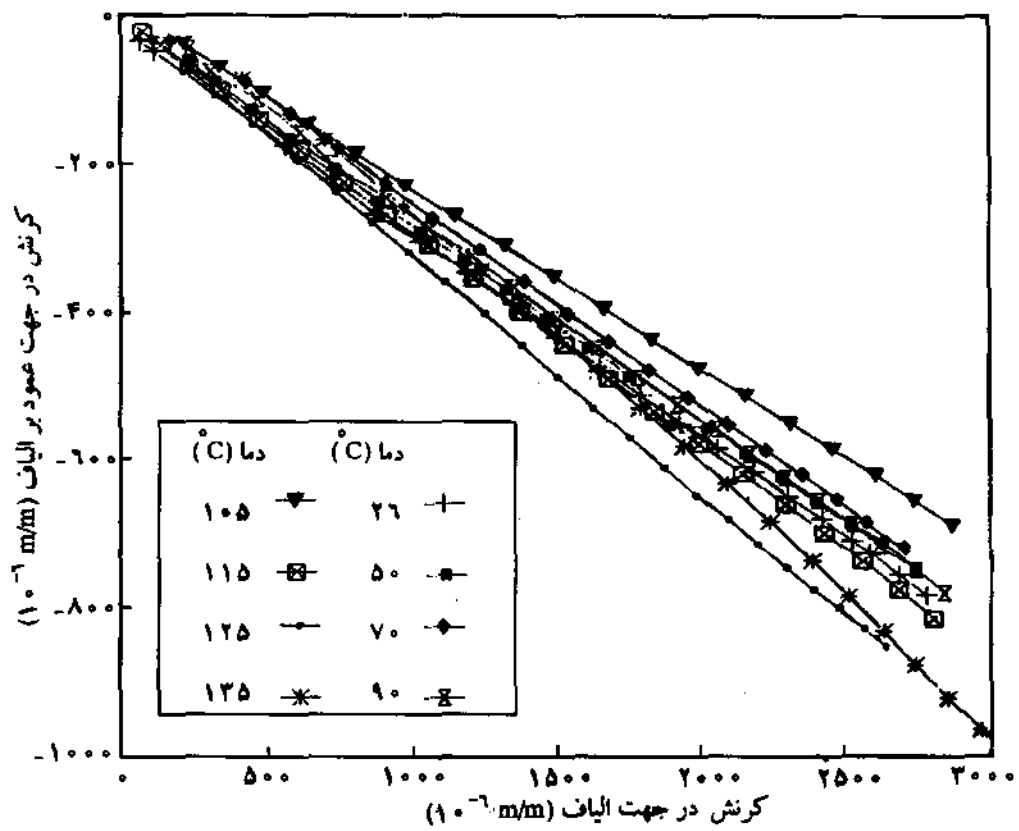
شکل ۲ - تجزیه گرما مکانیکی نمونه در جهت عمود بر الیاف.

برای کامپوزیتهای پلیمری نشان داده شده است که در محدوده ویسکوالاستیک خطی تغییرات کامپلیانس خروش با زمان در تنش و دمای ثابت به صورت معادله قانون توافق نوشته می‌شود [۱۵]:

$$S = S_0 + mt^n \quad (۴)$$



شکل ۳ - منحنیهای تنش - کرنش قطعات با زاویه 0° در آزمون کشش در دمای‌های مختلف.



شکل ۴- منحنیهای کرنش عرضی- کرنش طولی قطعات با زاویه 90° در آزمون کشش در دمایهای مختلف.

$$S_x = S_{11} \cos^2 \theta + (2S_{12} + S_{22}) \sin^2 \theta \cos^2 \theta + S_{22} \sin^2 \theta \quad (8)$$

عرضی و طولی مقادیر طبق معادله‌های زیر حساب می‌شود:

$$S_{11} = \frac{1}{E_1} = \frac{\epsilon_1}{\sigma_1} \quad (5)$$

$$S_{12} = \frac{\gamma_{12}}{E_1} = \frac{\epsilon_2}{\sigma_1} \quad (6)$$

مقدار S_{22} از آزمایش‌های کشش- خرس روی قطعات با زاویه 90° در جهت الیاف و با استفاده از معادله زیر حساب شده است:

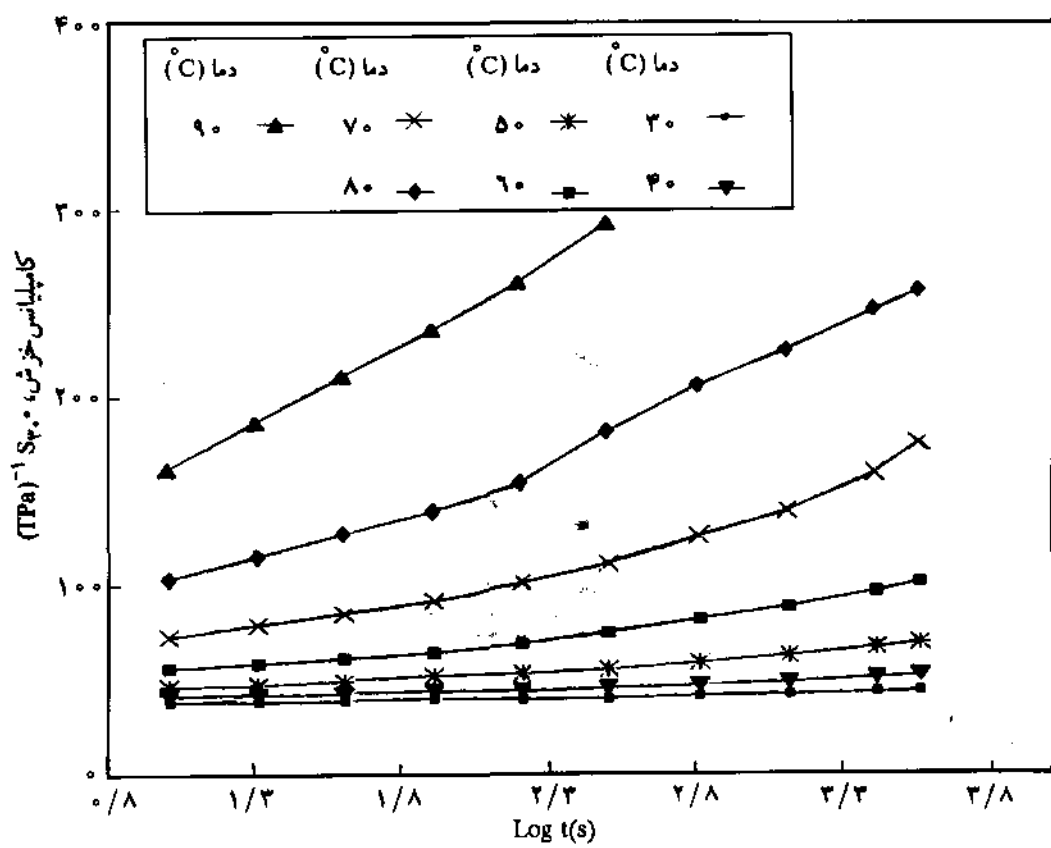
$$S_{22} = \frac{1}{E_2} = \frac{\epsilon_2}{\sigma_2} \quad (7)$$

که در آن ϵ_1 و ϵ_2 به ترتیب مدول یانگ و ضریب پویسان در جهت الیاف و E_1 مدول یانگ در جهت عمود بر الیاف است. برای محاسبه S_{22} روش‌های مختلفی ارائه شده است. مناسب‌ترین روش، همان‌گونه که در شکل ۱ نشان داده شده است، آزمایش کشش روی قطعات با زاویه الیاف 90° است [۱۶، ۱۷] با استفاده از تجزیه و تحلیل تنش- کرنش لایه‌های ارتوتروپ پ معادله ۸ بین کامپلیانس در جهت θ (یعنی ϵ_2) و پارامترهای ماتریس کامپلیانس حاصل می‌شود [۱۲-۱۴].

تجزیی

مواد، دستگاهها و روشها

برای تهیه قطعات نمونه‌ها، ابتدا صفحه‌های بزرگ کامپوزیتی به روش رشت‌بیچی با استفاده از یک مندل تخت و با زاویه پیچش 90° تهیه



شکل ۵ - منحنی کامپلیانس خروش در دماهای مختلف برای زاویه 30° در سطح تنش 20 MPa

$$\frac{\rho(T)}{\rho(30^\circ\text{C})} = (1 + \alpha_{22} \Delta T)^T (1 + \alpha_{11} \Delta T) \quad (10)$$

$$\Delta T = T - 30^\circ / 16 \quad (11)$$

مقادیر محاسبه شده (T) در دماهای مختلف برای بدست آوردن منحنی مادر کامپلیانس خروش با استفاده از اصل برهمهنش دما - زمان لازم است. در صد حجمی الیاف درون کامپوزیت در حدود 10° درصد اندازه گیری شده است. تمام قطعات در شرایط یکسان و با رطوبت بسیار کم نگهداری و آزمایش شده‌اند.

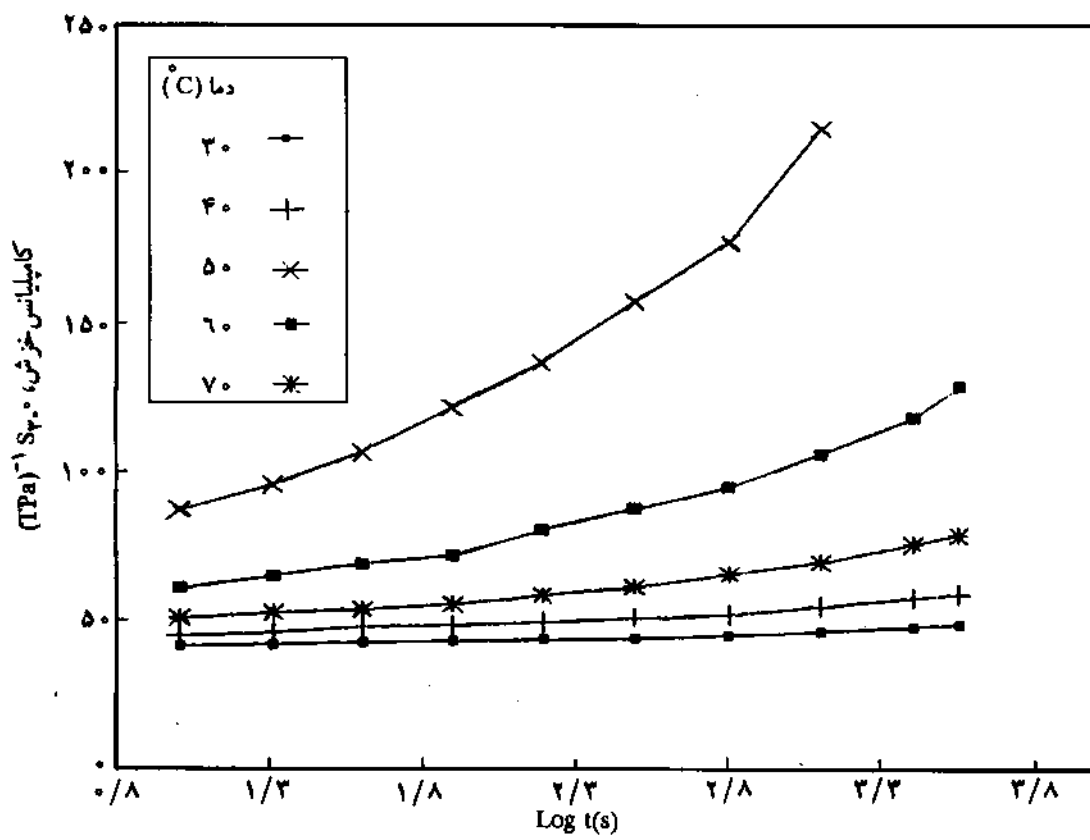
آزمایش‌های کشش روی قطعات با زاویه 30° به وسیله دستگاه کشش ساخت زوئیک مدل ۱۴۲۸ (۲۰ ton) انجام شده است و همزمان برای اندازه گیری کرنشها در جهات طولی و عرضی از دستگاه اندازه گیری چند نقطه‌ای ساخت شرکت HBM مدل ۶۰ UPM استفاده شده است.

نتایج و بحث

آزمایش‌های کشش روی قطعات با زاویه 30° در جهت الیاف در دماهای متواლی تا دمای 135°C انجام شد. شکل‌های ۳ و ۴ به ترتیب منحنیهای

شده است. هر صفحه دارای شش لایه بوده و مواد معرف شده برای تهیه این صفحه‌های کامپوزیتی الیاف شیشه از نوع R و اپوکسی ازنوع آرالدیت (LY 556) است که در دمای 120°C پخت شده‌اند. بعد از تهیه صفحه‌های کامپوزیتی، به وسیله تیغچه مخصوص برش کامپوزیت، قطعاتی به ابعاد $200 \text{ mm} \times 25 \text{ mm}$ در جهت 0° و 90° و قطعاتی به ابعاد $200 \text{ mm} \times 13 \text{ mm}$ در جهت 30° بریده شد [۱۸]. روی قطعات با زاویه 0° کرنش سنججهای رزت از نوع RY ۲۱-۶/۱۲۰ ساخت شرکت HBM نصب شد. قبل از انجام آزمایش‌های کشش - خروش، آزمایش تجزیه گر ماسکانیکی (TMA) روی نمونه‌های کوچک کامپوزیتی در دو جهت موازی و عمود بر الیاف به وسیله دستگاه TMA ساخت دوپانت مدل V5,1A 2000°C انجام شد.

همان‌گونه که در شکل ۲ نشان داده شده است، دمای انتقال شیشه‌ای (T_g) کامپوزیت در حدود 122°C است. همچنین، ضرایب انبساط خطی کامپوزیت در دو جهت طولی و عرضی با استفاده از یک کرنش سنج در دماهای مختلف اندازه گیری شد. با تعیین ضرایب انبساط خطی کامپوزیت می‌توان نسبت چگالی کامپوزیت را در دمای آزمایش به دمای مرتع (۳۰°C) از معادله ۱۰ حساب کرد:



شکل ۶ - منحنی کامپلیانس خروش در دمای مختلف برای زاویه 30° در سطح تش 20 MPa .

افقی طوری روی منحنی مرجع کامپلیانس خروش در دمای 30°C برآش یافته‌اند که بهترین همبوشانی حاصل شود. با استفاده از برنامه بسته نرم افزاری TSPV7 مناسبترین منحنی به صورت معادله قانون توانی (معادله ۳) روی منحنی مادر برآش یافته است.

شکل ۷ منحنیهای مادر $S_{30,0}$ حاصل از آزمایشها را درجه 30°C در دو سطح تش 20 و 40 MPa و همچنین معادله برآش یافته روی آنها را نشان می‌دهد. تمام نتایج برای زاویه‌های 90 و 30° در مرحله ۱۹ داده شده است.

با محاسبه $S_{11} (S_{11,0})$ ، $S_{12} (S_{12,0})$ و $S_{22} (S_{22,0})$ و با استفاده از معادله ۹ مقادیر S_{99} محاسبه شده است. مقادیر محاسبه شده S_{11} و S_{12} عبارتند از:

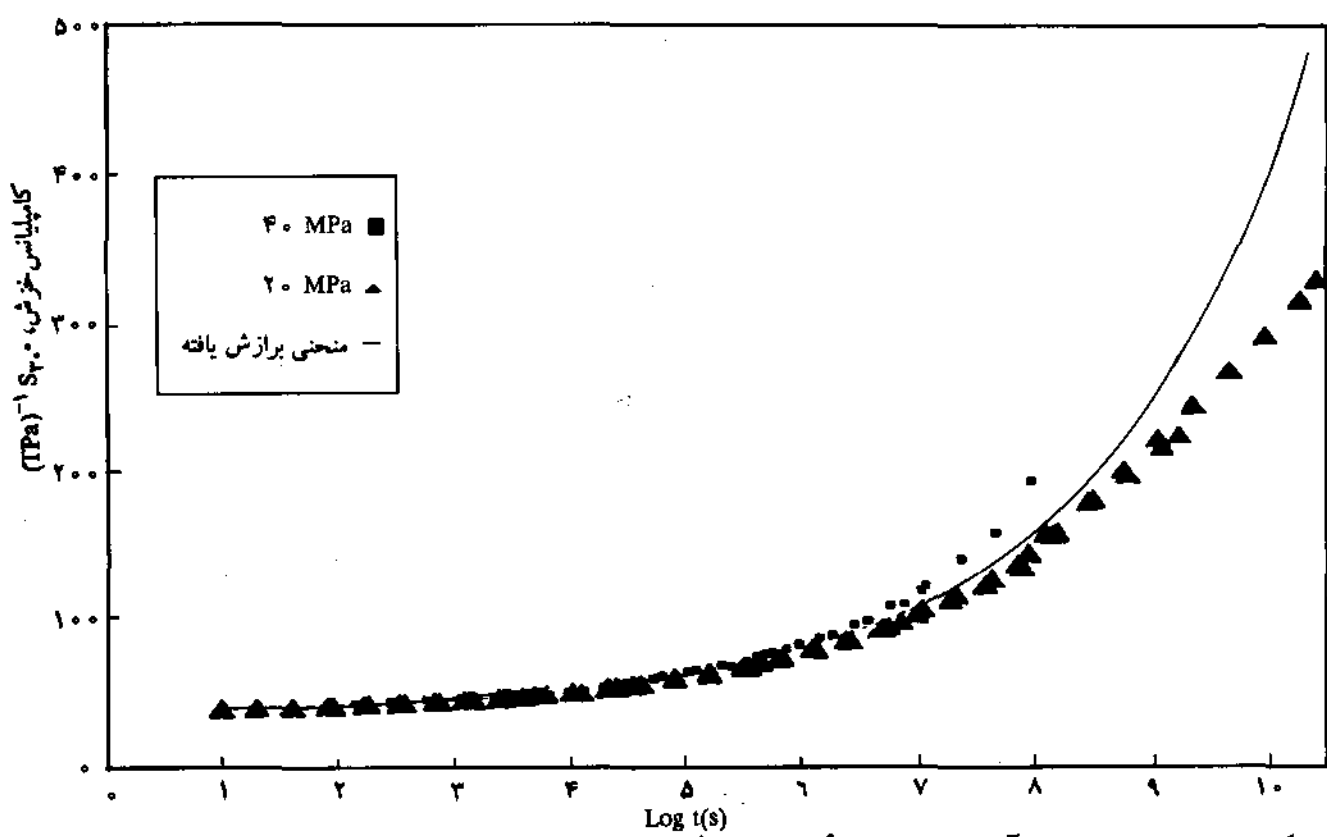
$$S_{11} = 21/44 (\text{TPa})^{-1}$$

$$S_{12} = -5/81 (\text{TPa})^{-1}$$

همچنین با استفاده از نرم افزار TSPV7 معادله‌های ۱۲ و ۱۳ برای S_{22} حاصل شده‌اند:

تش - کرنش را در جهت الیاف و منحنیهای کرنش عرضی - کرنش طولی را نشان می‌دهند. شب منحنیهای تش - کرنش در جهت الیاف، مقادیر مدول یا معکوس کامپلیانس در جهت الیاف را و شب منحنیهای کرنش عرضی - کرنش طولی مقادیر ضرایب پویسان را در دمای مختلف ارائه می‌دهند. مقادیر کامپلیانس و ضرایب پویسان در جهت الیاف ($S_{11, 712}$) تقریباً مستقل از مقدار دما و تش‌اند و مقادیر آنها با متوسط‌گیری از نتایج بدست آمده در دمای مختلف حساب شده است.

برای بدست آوردن منحنی مادر کامپلیانس خروش، آزمایش‌های کوتاه‌مدت خروش (یک ساعت) به وسیله دستگاه اندازه‌گیری روی قطعات با زاویه الیاف 90 و 30° در دمای مختلف انجام شد. این آزمایشها برای هر زاویه پیچش در دو سطح تش مختلف انجام گرفته و هر آزمایش برای ۳ تا ۴ مرتبه تکرار شده است. در شکل‌های ۵ و ۶ منحنیهای کوتاه‌مدت کامپلیانس خروش در دمای مختلف برای زاویه 30° در دو سطح تش 20 و 40 MPa نشان داده شده است. مشاهده شد که در دمای بالا قبل از رسیدن به زمان یک ساعت نمونه‌های کامپوزیتی شکسته می‌شوند. به روش نموداری و با استفاده از اصل برهمه‌نش دما-زمان، منحنیهای کوتاه‌مدت خروش با انتقال عمودی و



شکل ۷- منحنی S_{20} حاصل از آزمایشها در دمای 30°C در دو سطح تنش 20 و 40 MPa.

ثابت عمومی گازهای معادله خطی است. هر دو معادله خطی و آرنیوس روی مقادیر آزمایش $\log a_T$ بر حسب دما برآورده اند. اگرچه هر دو معادله بخوبی تغییرات $\log a_T$ نسبت به دما را بیان می‌کنند، اما معادله خطی دارای دقت بیشتری است. در شکل نقاط آزمایشی و معادله‌های آرنیوس و خط برآورده ای را روی نقاط آزمایشی ملاحظه می‌شود.

معادله‌های ۱۶ و ۱۷ برای معادله‌های خطی و آرنیوس حاصل شده‌اند:

$$\log a_T = 24/822 - 0/115T \quad (16)$$

$$\log a_T = 11759 \left(\frac{1}{T} - \frac{1}{303/16} \right) \quad (17)$$

که T دما بر حسب درجه کلوین است. برای تعیین اثر مقدار تنش روی خوش کامپوزیت در جهات عرضی و برش آزمایش‌های جداگانه‌ای در دمای ثابت 30°C در تشهیای مختلف انجام شده است. شکل ۹ منحنی‌های کوتاه‌مدت خوش را در 30°C نشان می‌دهد. هر آزمایش برای ۳ تا ۴ مرتبه تکرار شده است. در این حالت با داشتن مقادیر m و n از معادله ویسکوالاستیک

$$S_{20} = 74/655 + 1/188T \quad (18)$$

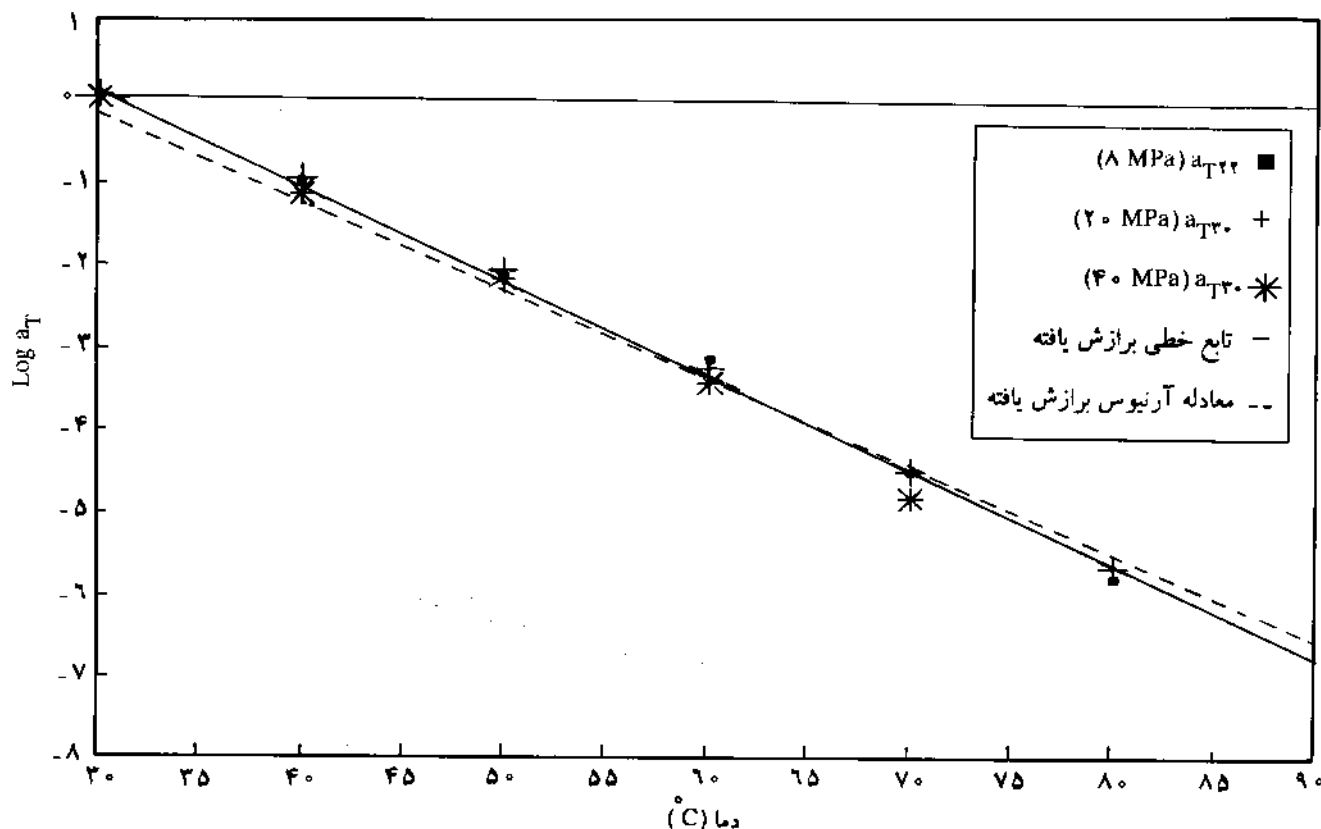
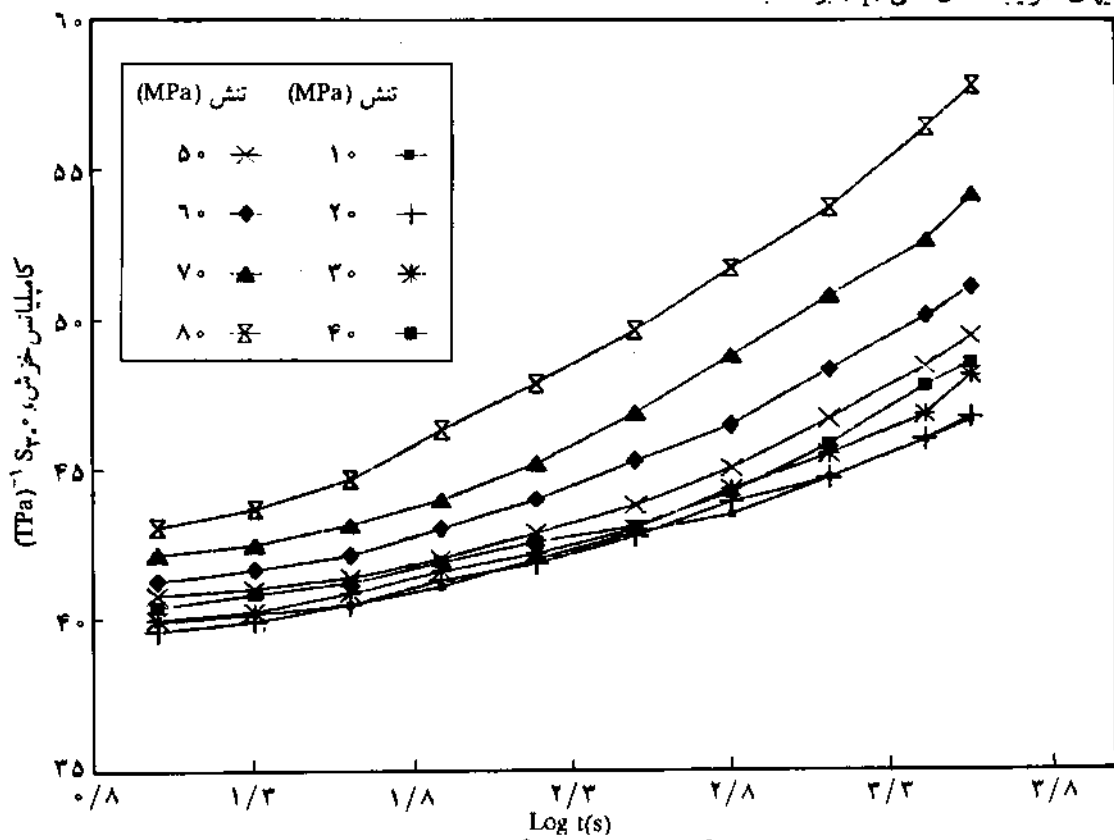
$$S_{20} = 120/070 + 7/596T \quad (19)$$

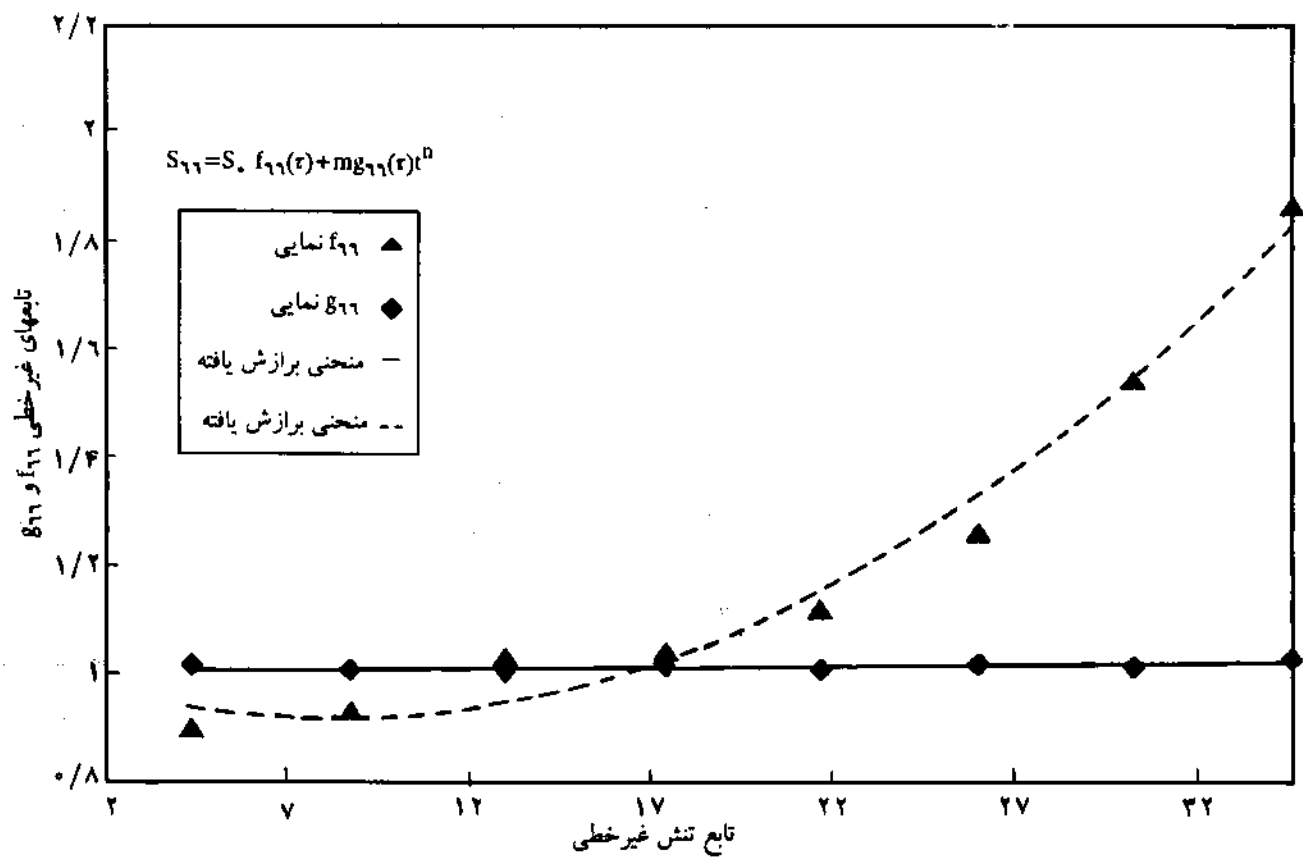
که TPa به معنی 10^{12} Pa است. برای بدست آوردن توابع ضرایب انتقال افقی S_{20} مقادیر انتقال افقی منحنی‌های کوتاه‌مدت خوش در دمای 30°C و 90°C در تشهیای مختلف به صورت لگاریتمی بر حسب T رسم شده است. برای مواد پلیمری مشابه بسیار متداول است که برای دمای زیر T_g از معادله آرنیوس برای بیان تغییرات $\log a_T$ نسبت به دما استفاده شود [۱۱، ۱۲]. همچنین، گزارش شده است که برای کامپوزیتهای پلیمری تقویت شده با الیاف تک‌جهتی و پیوسته، معادله خطی زیر برای بیان تغییرات $\log a_T$ نسبت به دما مناسب است [۱۱]:

$$\log a_T = \frac{\Delta H}{2/303R} \left(\frac{1}{T} - \frac{1}{T_b} \right) \quad (20)$$

$$\log a_T = AT + B \quad (21)$$

در معادله‌های بالا T ، ΔH و R به ترتیب دمای مبدأ، انرژی فعالسازی و

شکل ۸- منحنیهای خرابی انتقال افقی (a_T) بر حسب دما.شکل ۹- منحنیهای کوتاه مدت کامپلیانس خروش در زاویه 30° ، دمای ثابت 30°C و تنشهای مختلف.



شکل ۱۰ - توابع تنش برای مدل ویسکوالاستیک غیر خطی کامپلیانس خرمن در جهت برش.

$$x \times 10^{-4} \sigma_2^2 (TPa)^{-1} \quad (19)$$

خطی (معادله ۱۲) مقادیر $f(\sigma)$ و $S(\sigma)$ در تنشهای مختلف برای هر کدام از توابع S_{66} و S_{22} محاسبه شده است. سپس مقادیر $f(\sigma)$ و $S(\sigma)$ بر حسب تنش مدل‌سازی شده و بهترین معادله‌ها روی آنها برآزش یافته است. برای معادله ۱۵ از تنش σ_2 و برای معادله ۱۶ از تنش σ_{12} استفاده شده است.

شکل ۱۰ مقادیر $f(\sigma)$ و $S(\sigma)$ برای معادله S_{66} و توابع درجه دوم برآزش یافته روی آنها را نشان می‌دهد. در پایان با استفاده از تجزیه و تحلیلهای یاد شده و مقادیر S_{11} و S_{12} (به ترتیب $21/44$ و $1/81$ $(TPa)^{-1}$) معادله‌های ویسکوالاستیک غیرخطی برای عناصر ماتریس فرمی (کامپلیانس) بصورت زیر حاصل شده‌اند:

$$S_{22} = 74/155 [1 + (3/0.9 \times 10^{-4} \sigma_2^2)] + 1/188 [1 + 2/89 \times 10^{-4} \sigma_2^2] \quad (18)$$

$$S_{66} = 120/0.70 [1 + (1/39 \times 10^{-4} \sigma_2^2)] + 7/596 [1 - (2/127 \times 10^{-4} \sigma_2^2)] \quad (18)$$

نتیجه گیری
کامپوزیت اپوکسی تقویت شده با لایاف شیشه تحت تأثیر پایه پلیمری خود ویسکوالاستیک بوده و در اثر اعمال بار روی آن در دو جهت عرضی و برش بین لایه‌ای رفتار خرمن نشان می‌دهد. اما، در جهت طولی الاستیک عمل می‌کند و خرمن محسوسی ندارد.

تفییر شکل کامپوزیت یادشده در جهات عرضی و برش شامل دو قسمت تغییر شکل فوری و تغییر شکل بر حسب زمان است. بنابراین، کامپلیانس درجهت عرضی و برش شامل دو قسمت الاستیک و وابسته به زمان است و هر دو قسمت به دما، تنش و زمان بستگی داشته و کامپوزیت رفتار ویسکوالاستیک غیرخطی دارد. اما در جهت طولی تغییر شکل کامپوزیت فوری و الاستیک بوده و بنابراین کامپلیانس فقط شامل یک قسمت الاستیک و مستقل از زمان، دما و تنش است. نسبت تغییر شکل خرمن وابسته به زمان به تغییر شکل فوری و الاستیک در دمای‌های پایین و زمان محدود بسیار کوچک است. لیکن این نسبت با بالا رفتن دما یا

S

جزء ثابت در معادله قانون توانی

مراجع

- 1 Ferry J.D.; *Viscoelastic Properties of Polymers*; John Wiley & Sons, New York, 1970.
- 2 Ward I.M.; *Mechanical Properties of Solid Polymers*; John Wiley & Sons, 2nd ed., New York, 1979.
- 3 Halpin J.C.; *Introduction to Viscoelasticity; Composite Materials Workshop*, Tsai S.W., Halpin J.C. and Pagano N.J.(Eds.), Technomic, 1967.
- 4 Lou Y.C. and Schapery R.A.; *J. Compos. Mater.*; 5, 208-234, April 1971.
- 5 Brinson H.F.; *Viscoelastic Behavior and Lifetime (Durability) Predictions, Mechanical Characterization of Load Bearing Fiber Composite Laminates*; Cardo A.H. & Verchery G. (Eds.), 1984.
- 6 Brinson H.F. & Dillard D.A.; *Progress in Science and Engineering of Composites*; Hayashi T., Kawata K. and Umekawa S. (Eds.), Iccm-Iv, 795-802, Tokyo, 1982.
- 7 Dillard D.A., Morris D.H. & Brinson H.F.; *Composite Materials: Testing and Design*, 6, ASTM, 357-70, 1982.
- 8 Dillard D.A.; *Creep Rupture of Laminated Graphite/Epoxy Composite*; Ph.D. Dissertation, VPI and SU, Blacksburg, VA , also VPI Report VPI-E-81-3, 1981.
- 9 Morris D.H. ,Brinson H.F. and Yeow Y.T.; *Polym. Compos.*, 1, 1 , 32-6, Sept. 1980.
- 10 Yeow Y.T., Morris D.H. and Brinson H.F.; *Composite Materials: Testing and Design (Fifth Conference)*; ASTMSTP 674, ASTM, 263-81, 1979.
- 11 Gramoll K.C., Dillard D.A. and Brinson H.F.; *Composite Materials: Testing and Design*; 9, ASTMSTP 1059, ASTM, Philadelphia, 477-93, 1990.
- 12 Agarwal B.D. and Broutman L.J.; *Analysis and Performance of Fiber Composite*; John Wiley and Sons, 1980.
- 13 Jones R.M.; *Mechanics of Composite Materials*; Mc Graw-Hill, 1975.
- 14 Mallik P.K.; *Fiber Reinforced Composites, Materials*,

زمان یا هر دو افزایش چشمگیری می‌یابد. معادله‌های بدست آمده نشان می‌دهد که ثابت α (توان متغیر زمان) برای معادله‌های عناصر ماتریس کامپلیانس درجهات عرضی و برش (S_{11} و S_{22}) تقریباً مقدار یکسانی بوده است. همچنین، سرعت تغییر شکل و خوش درجهت برش پیشتر از سرعت خوش درجهت عرضی است. مقدار ضرایب انتقال افقی برای کامپوزیت درجهات عرضی و برش مستقل از زاویه الیاف و مقدار تنش بوده و فقط تابع دماست.

قدردانی

از پژوهشگاه علوم و تکنولوژی دفاعی و پژوهشگاه پلیمر ایران برای هسکاری و حمایت از این طرح تشکر و قدردانی می‌شود.

علام و نشانه‌ها

S	کامپلیانس
t	زمان
T	دما
T.	دمای مبدأ
ϵ_1	کرنش درجهت الیاف
ϵ_2	کرنش درجهت عمود بر الیاف
γ_{12}	کرنش برشی
σ_1	تش درجهت الیاف
σ_2	تش درجهت عمود بر الیاف
τ_{12}	تش برشی
τ_{12}	ضریب پویان
θ	زاویه الیاف بامحور طولی قطعات
α_{11}, α_{22}	ضرایب انساط طولی و عرضی
A,B	ضرایب معادله خطی
a_T	ضرایب انتقال افقی
E_1	مدول یانگ درجهت الیاف
E_2	مدول یانگ درجهت عمود بر الیاف
$f(\sigma), g(\sigma)$	تابع تنش
G_{11}	مدول برشی
ΔH	انرژی فعالسازی
m	ضریب متغیر زمان در معادله قانون توانی
n	توان متغیر زمان در معادله قانون توانی
R	ثابت عمومی گازها
$S_{11}, S_{22}, S_{12}, S_{11}$	عناصر ماتریس نرمی

پیش‌بینی خواص ویسکوالاستیک کامپوزیت اپوکسی تقویت شده با ...

Composites; ASTM, D 3039-76, 1989.

۱۹ - سید‌حسین میرزا‌سیدی؛ پیش‌بینی خواص ویسکوالاستیک پلاستیکهای تقویت شده با الیاف تک جهته شیشه؛ پایان‌نامه کارشناسی ارشد مهندسی شیمی، دانشگاه تربیت مدرس، دانشکده فنی و مهندسی، ۱۳۷۴

Manufacturing and Design; Marcel Dekker, 1988.

- 15 Schapery R.A.; *Polym. Eng. Sci.*; 9, 4, 295-310, July 1969.
- 16 Chamis C.C. and Sinclair J.H.; *Experimental Mechanics* 339-46, Sept. 1977.
- 17 Yeow Y.T. and Brinson H.F.; *Composites*; 49-55 January.
- 18 Standard Test Method For Tensile Properties of Fiber Resi-